

*ITU-R M.628-4 التوصية

الخصائص التقنية للمرسلات المستجيبات الرادارية المخصصة للبحث والإنقاذ

(المسئلتان ITU-R 28/8 و 45/8 ITU-R)

(1986-1990-1992-1994-2006)

نطاق التطبيق

تحتوي هذه التوصية على الخصائص التقنية للمرسلات المستجيبات الرادارية المخصصة للبحث والإنقاذ (SART). وتستخدم هذه الأجهزة لمعرفة موقع سفينة أو مركبة إنقاذ في البحر في أحوال الاستغاثة.

ويمكن لأي سفينة أو مركبة إنقاذ استعمال SART للدلالة على أنها في ضائقة. ويمكن تحري موقع أجهزة SART بواسطة رادارات تعمل في نطاق التردد 9 GHz.

إن جمعية الاتصالات الراديوية التابعة للاتحاد الدولي للاتصالات،

إذ تضع في اعتبارها

أ) أن القاعدتين III/6.2.2 و 7.1.3/IV من تعديلات عام 1988 على الاتفاقية الدولية لحماية الحياة البشرية في البحر (SOLAS)، 1974 تنص على أن تتجهز السفن بمرسلات مستجيبات رادارية تعمل في نطاق الترددات 9 GHz و المؤمن تحديد موقع السفينة عندما تكون في حالة الاستغاثة في البحر أو موقع مركبة الإنقاذ؛

ب) أن سفناً لا تخضع لاتفاقية SOLAS، 1974 تستطيع أن تستعمل هذا النمط من المرسلات المستجيبات الرادارية كذلك، ويمكن تركيب بعض هذه المرسلات المستجيبات الرادارية في آلية عائمة قابلة للإطلاق والتفعيل أو في صوّات راديوية عائمة لموضع الطوارئ (EPIRB)، أو صوّات راديوية EPIRB عائمة لموضع الطوارئ ساتلية؛

ج) أن القاعدة 19/V من تعديلات 2000 على الاتفاقية الدولية SOLAS، 1974 تفرض على سفن الركاب مهما كان حجمها وعلى السفن ذات حمولة إجمالية بمقدار 300 طن أو أكثر أن تحمل جهازاً رادارياً، وتفرض على السفن ذات حمولة إجمالية من 5 000 طن أو أكثر، أن تحمل جهازين راداريين؛ وينبغي للجهاز الراداري أو لأحد الجهازين الراداريين على الأقل أن يكون قابلاً للتشغيل في نطاق الترددات 9 GHz ابتداء من 1 فبراير 1995؛

د) أن المنظمة البحرية الدولية (IMO) قد اعتمدت التوصية بشأن معايير تشغيل المرسلات المستجيبات الرادارية لمركبات الإنقاذ التي تستعمل في عمليات البحث والإنقاذ (القرار (19/A.802)؛

ه) أن تحديد الموقع هو أحد المتطلبات الأساسية للنظام العالمي للاستغاثة والسلامة في البحر (GMDSS)؛

و) أن نظاماً لتحديد الموقع قد يكون أكثر فعالية إذا كانت المرسلات المستجيبات الرادارية مطابقة لخصائص التقنيات والتشغيل المنافق عليها دولياً،

* يطلب من مدير مكتب الاتصالات الراديوية أن يحيط المنظمة البحرية الدولية (IMO) ومنظمة الطيران المدني الدولي (ICAO) واللجنة الكهربائية الدولية (IEC) والرابطة الدولية لسلطات المنارات (IALA)، علمًاً بهذه التوصية.

توضيحي

1 بأن تكون الخصائص التقنية للمرسلات المستجيبات الرادارية الخاصة بالبحث والإنقاذ والتي تعمل في نطاق الترددات MHz 9 500-9 200 مطابقة للمواصفات الواردة في الملحق 1 بهذه التوصية؛

2 بأن يقدر أقصى مدى كشف صورة SART لها خصائص تقنية مطابقة للملحق 1، من رadar مطابق للقرار MSC.192(79) الصادر عن المنظمة البحرية الدولية على أساس قياسات الخصائص التقنية طبقاً للطريقة النظرية المذكورة في الملحق 2؛

3 بأن تكون الملاحظتان 1 و 2 جزءاً من هذه التوصية.

ملاحظة 1 - يتضمن الملحق 3 تفسيراً لتوهين الانتشار في إشارة صورة SART الذي تسببه مرحلة الإنقاذ وركابها.

ملاحظة 2 - يتضمن الملحق 4 وصفاً للخصائص التقنية لصوتي SART ذات الاستقطاب الدائري.

الملحق 1

الخصائص التقنية للمرسلات المستجيبات الرادارية المخصصة للبحث والإنقاذ والتي تعمل في نطاق MHz 9 500-9 200

1 التردد: MHz 9 500-9 200.

2 الاستقطاب: أفقي أو دائري.

3 معدل الكنس: 5 μ s من أجل 200 MHz، اسمي.

4 يجب أن تتضمن إشارة الاستجابة 12 كنساً.

5 شكل الكنس: سن منشار، مدة كنس أمامي: $1 \pm 0,5 \mu$ s

مدة كنس عكسي: $0,1 \pm 0,4 \mu$ s

ينبغي أن تبدأ الاستجابة بكنس عكسي.

6 إرسال نبضي: 100 μ s اسمي.

7 القدرة e.i.r.p.: لا تكون أقل من mW 400 (مكافأة لقيمة +26 dBm).

8 الحساسية الفعالة للمستقبل: أفضل من -50 dBm (مكافأة لقيمة $0,1 \text{ mW/m}^2$) (انظر الملاحظة 1).

9 مدة التشغيل: 96 ساعة في حالة الانتظار تتبعها 8 ساعات من إرسالات المرسل - المستجيب مع

الإجابة لاستفهامات مستمرة ذات تردد لتكرار النبضات بمقدار 1 kHz.

10 مدى درجات الحرارة: المحيطة: من -20°C إلى $+55^\circ\text{C}$ ،

المخزنة: من -30°C إلى $+65^\circ\text{C}$.

11 وقت الاسترداد بعد الإثارة: 10μ s أو أقل.

12 الارتفاع الفعال للهويائي: $\leq m1$ (انظر الملاحظة 2).

13 الفترة الفاصلة بين استقبال إشارة الرادار وبداية الإرسال: $0,5 \mu$ s أو أقل.

14 العرض الرأسي لحزمة الهوائي: $\pm 12,5^\circ$ على الأقل بالنسبة إلى المستوى الأفقي للمرسل المستجيب الراداري.

15 العرض السمتبي لحزمة الهوائي: شاملة الاتجاهات ضمن $\pm 2 \text{ dB}$.

- ملاحظة 1** - تتضمن الحساسية الفعالة للمستقبل كسب الهوائي.
- تتطبق الحساسية الفعالة للمستقبل بأفضل من -50 dBm على نبضات استفهام الرادار (المتوسطة والطويلة) التي تفوق 400 ns .
 - تتطبق الحساسية الفعالة للمستقبل بأفضل من -37 dBm على نبضات استفهام الرادار (القصيرة) التي تساوي ns أو تقل عن هذه القيمة.
 - يفترض بالمستقبل أن يكون قادرًا على التشغيل الصحيح عندما يتعرض للمجال المشع ($28 \text{ dB(W/m}^2\text{)}$) الذي يرسله رادار السفينة طبقاً للقرار (79)MSC.192 الصادر عن المنظمة البحرية الدولية عند أي مسافة تفوق 20 m .
- ملاحظة 2** - ينطبق هذا الارتفاع الفعال للهوائي على التجهيزات التي تغطيها القاعدتان 6.2.2 III و 7.1.3.4 IV من تعديلات 1988 على الاتفاقية SOLAS التي أبرمت عام 1974.

الملاحق 2

يمكن أن يقدر أقصى مدى لكشف صورة SART ذات قدرة e.i.r.p. معينة أو مقيسة وحساسية فعالة للمستقبل ينشر مع رادار مطابق للقرار (79)MSC.192 الصادر عن المنظمة البحرية الدولية وذلك حسب الشكل 1.

والعلامات الأساسية للرادار هي:

- قدرة المرسل: $kW 25$,
- كسب الهوائي: 30 dBi ,
- ارتفاع الهوائي: 15 m ,
- حساسية المستقبل: -94 dBm .

ويمثل الشكل 1 منحنيات الانتشار لإشارات صوی SART مع ارتفاعات من $0,5 \text{ m}$ و 1 m و $1,5 \text{ m}$ عندما يكون البحر هادئاً نسبياً (ارتفاع الموجة $0,3 \text{ m}$). أما في حالة بحر أكثر هيجاناً، ينخفض معامل انعكاس البحر وتتحرك منحنيات الانتشار في اتجاه خطوط الفضاء الحر وفقاً للانكسار الجوي. ويكون أقصى مدى كشف للصورة SART ذات ارتفاع متراً واحداً (1 m) بقيمة 5 NM على الأقل.

وطريقة استعمال الشكل 1 تكون على النحو التالي:

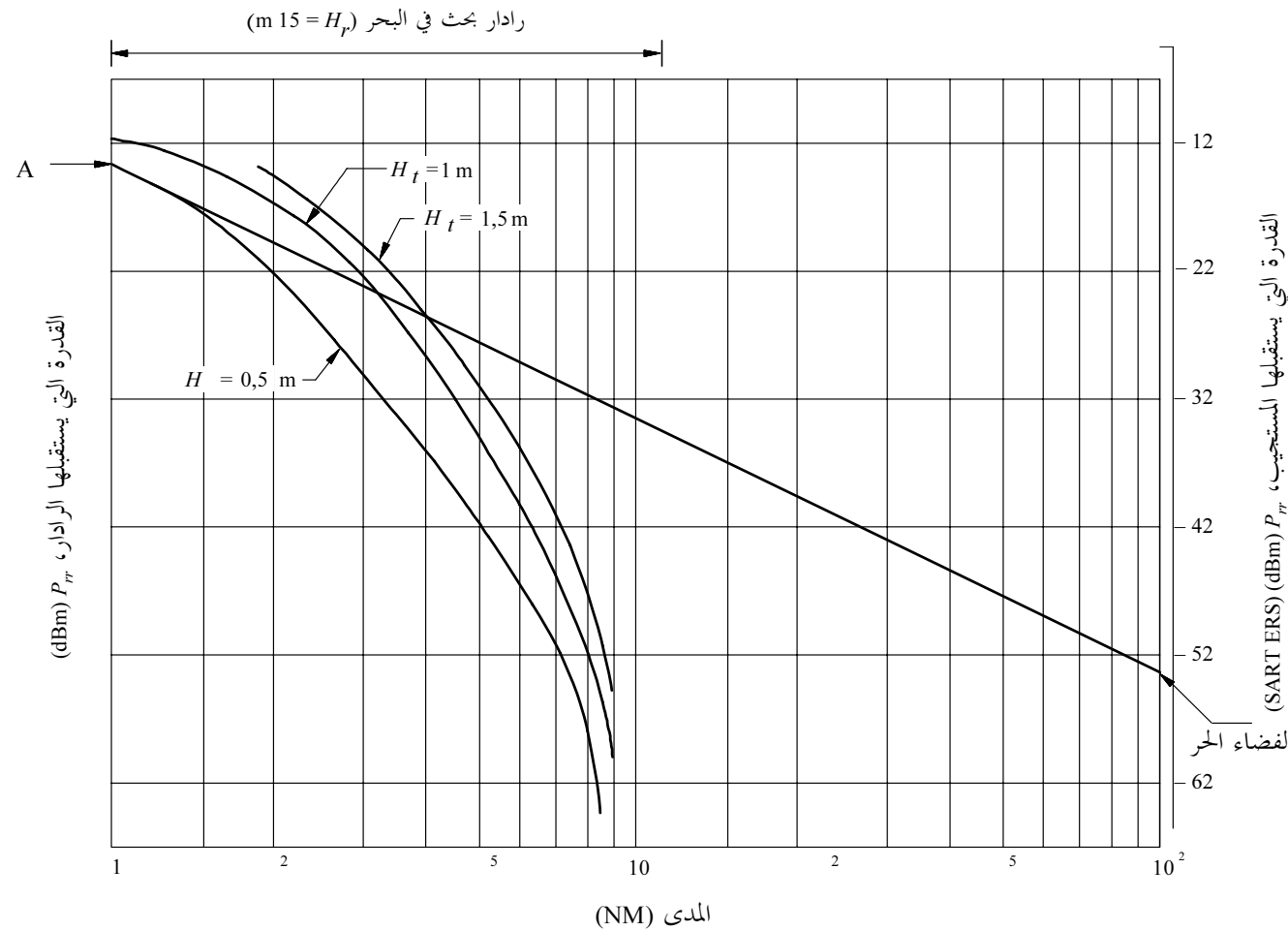
- حساب القدرة التي يستقبلها الرادار (P_r) في المدى 1 NM وفقاً للعبارة التالية:

$$P_r = \text{القدرة e.i.r.p. للصورة SART} \times \text{كسب هوائي الرادار} \times (\lambda/4 \pi R)^2$$

$$\text{أي } P_r = (\text{dBm}) \text{ SART e.i.r.p.} - (\text{dBm}) \text{ ارتفاع الهوائي}$$
 - تسجيل القدرة P_r المحسوبة عند النقطة A على سلم القدرة التي يستقبلها السائل وإكمال السلم (10 dB لكل تدريج);
 - تسجيل الحساسية الفعالة للمستقبل (ERS) للصورة SART على سلم القدرة التي يستقبلها المرسل المستجيب ورسم الخط الموازي للإحداثيات السينية عند هذه النقطة القراءة عند نقطة التقاطع مع منحني الانتشار المناسب لأقصى مدى كشف الصورة SART;
 - اعتبار السوية -94 dBm على سلم القدرة التي يستقبلها الرادار وقراءة التقاطع مع منحني الانتشار المناسب عند هذه السوية من أجل الحصول على أقصى مدى كشف للصورة SART نحو الرادار.
- وتكون أصغر هاتين القيمتين لأقصى الكشف هي التقدير المطلوب لأقصى مدى كشف الصورة SART والذي يفترض أن يكون بقيمة 5 NM على الأقل طبقاً للقرار (19)A.802 الصادر عن المنظمة البحرية الدولية.

الشكل 1

منحنيات الانتشار لقياس أقصى مدى كشف الصورة SART



الملحق 3

تأثيرات ارتفاع الهوائي وإعاقة مسیر الإشارة التي تسببها مرکبة إنقاذ وركابها في مدى كشف الصوی SART

المقدمة

1

يناقش هذا الملحق التأثيرات في مسیر انتشار إشارات الصوی SART وفقاً لارتفاع هوائي الصوی SART فوق سطح البحر وكذلك التوهين الذي تسببه مواد مرکبة الإنقاذ وركابها.

تأثيرات ارتفاع هوائي الصوی SART في مدى الكشف

تطلب هذه التوصية أن يكون ارتفاع هوائي الصوی SART المركب متراً واحداً على الأقل فوق سطح البحر من أجل الحصول على مدى كشف 5 أميال بحرية الذي يتطلبه القرار (19) A.802 الصادر عن المنظمة البحرية الدولية. وقد أكدت اختبارات ميدانية لهذا الأداء. وقد أعطت الاختبارات على عينة من ست صوی SART لصانعين مختلفين مدى كشف يترواح بين 8,2 NM و 9,2 NM مع ارتفاع للهوائي يبلغ متراً واحداً.

1.2 يبيّن الاختبارات أيضاً أهمية الحفاظ على ارتفاع هوائي الصوی SART عند 1 m على الأقل. وتحقق النتائج التالية على صوی في مرکبة إنقاذ:

- صوی SART ملقاة على أرضية المركبة: مدي 1,8 NM
- صوی SART تقف عمودياً على أرض المركبة: مدي 2,5 NM
- صوی SART عائمة على سطح الماء: مدي 2,0 NM

تأثيرات مرکبة الإنقاذ في إشارة الصوی SART

أجريت اختبارات على صوی SART مرکزة في مرکبة إنقاذ يبلغ ارتفاع هوائي فيها متراً واحداً من أجل تحديد ما إذا كانت مرکبة الإنقاذ أو رکابها تسبّب حجاً للصوی.

1.3 تعرض الأشكال من 2 إلى 4 نتائج هذه الاختبارات المحققة على نموذجين مختلفين من طوف للنجاة SOLAS يتسع لثمانية أشخاص. وكانت توضع الصوی، في كل حالة، في وسط منصة تدور في مجال مفتوح وتطلق من خلال إشارة رadar منبضة. وتحقق كل مجموعة من القياسات مع طوف النجاة وركابه وبدونهم مع الإبقاء على الصوی SART في وسط المنصة الدوارة.

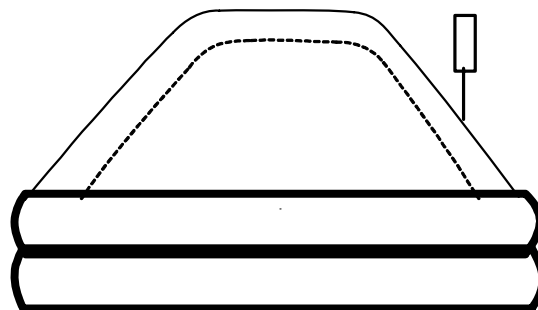
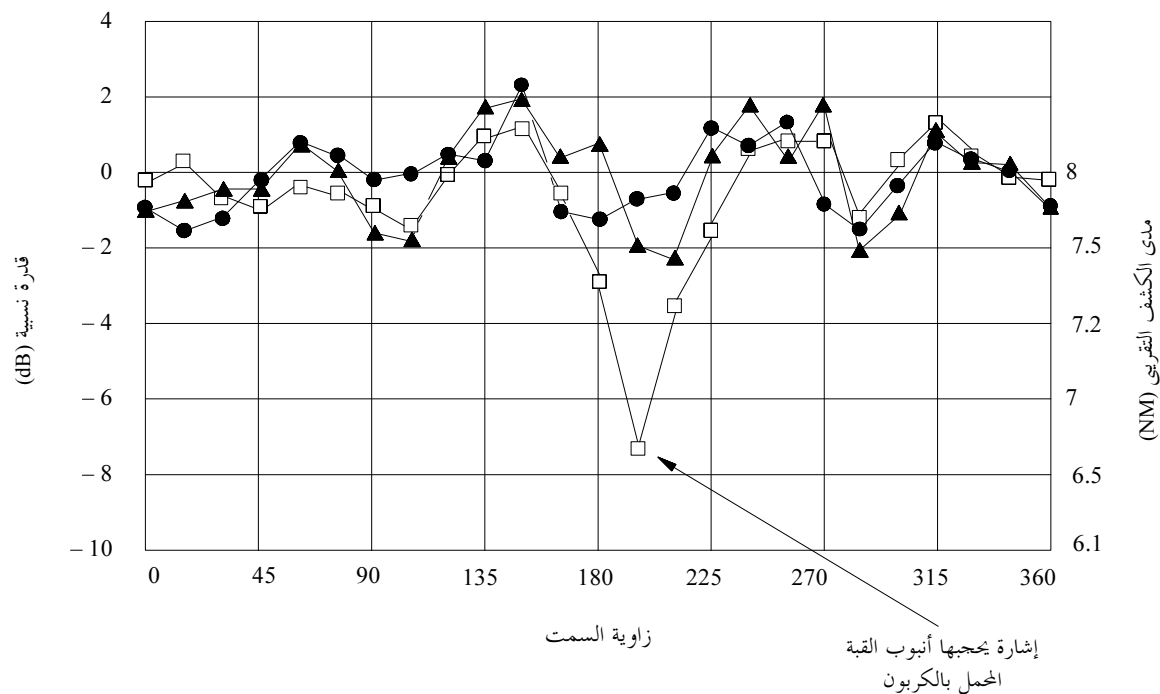
2.3 ويبيّن الشكل 2 النتائج المحققة في صوی SART مرکزة على سارية راصدة في موقع هوائي طوف النجاة. وكان هوائي الصوی SART، في هذه الحالة، عند سوية الأنابيب الداعم لقبة الطوق. فكان لأحد الطوفين تأثير لا يذكر في الإشارة، بينما تسبّب الطوف الآخر (حيث يحتوي الأنابيب الداعم على الكربون) في ميل لإشارة ضمن زاوية 30° تقريباً.

3.3 يبيّن الشكل 3 النتائج المحققة على الطوفين نفسها لكن مع الصوی SART مصممة لتعلق من الأنابيب الداعم داخل قبة الطوف. ولوحظت خسارة ضئيلة للإشارة بسبب الأنابيب المحملة بالكربون عند مرور الإشارة عبر المقاطع الرئيسية. ولوحظ أيضاً ميل لهذه الإشارة بسبب وجود شريط عاكس إلى الخلف في الجانب الخارجي من قبة طوف النجاة. وحدث على أحد الطوفين انخفاض ملحوظ للإشارة في زاوية صغيرة جداً وذلك بسبب قرب مجموعة من البطاريات بالليثيوم مرکبة على القبة لتغذية أضواء تحديد موضع الطوف بالطاقة.

4.3 يبيّن الشكل 4 تأثير الحجب الذي يسبّب ناجٍ يحمل الصوی SART في يده. فلا يتجاوز ارتفاع الصوی SART في هذه الحالة 0,5 m.

الشكل 2

صورة SART مرکبة على سارية

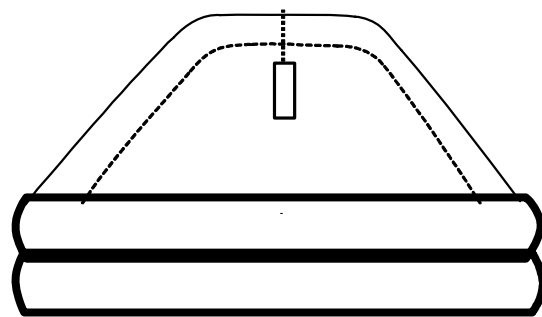
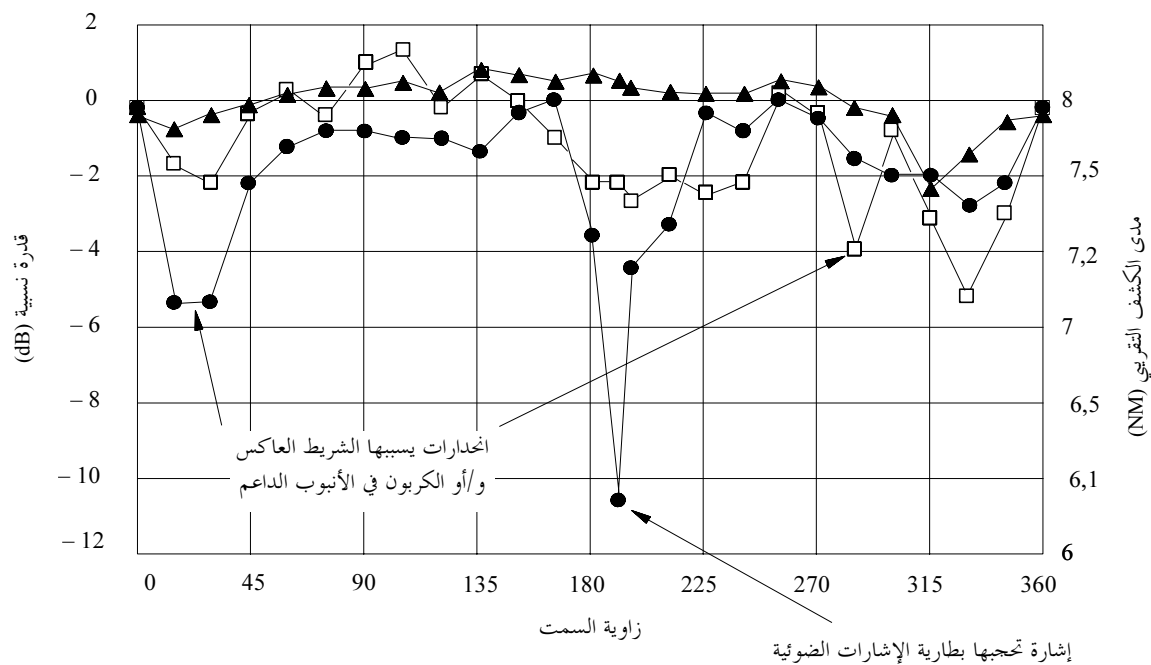


- صورة SART وحدتها —▲—
- صورة SART مرکبة على الطوف 1 —□—
- صورة SART مرکبة على الطوف 2 —●—

D02

الشكل 3

الصورة SART معلقة داخل الطوف



صورة SART وحدتها

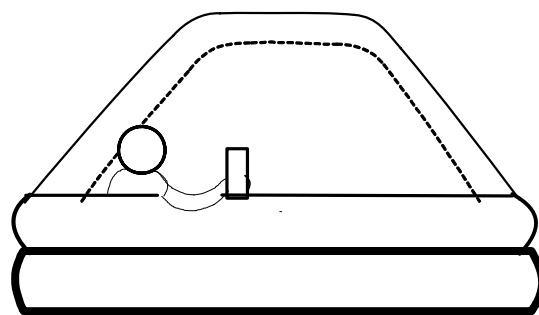
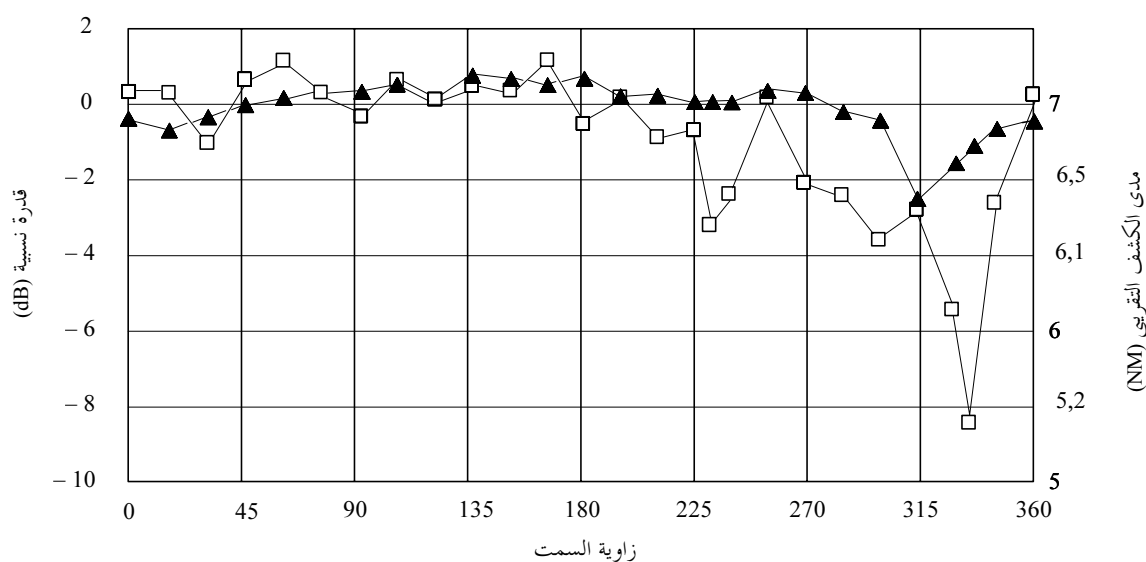
صورة SART مركبة على الطوف 1

صورة SART مركبة على الطوف 2

D03

الشكل 4

صورة SART محمولة باليد



صورة SART وحدتها ▲

صورة SART محمولة باليد في الطوف 1 □

D04

5.3 يشار في كل شكل من الأشكال إلى مدى الكشف التجريبي. ويستخلص هذا المدى نظرياً على أساس مدى كشف من 8 NM لصورة ارتفاعها 1 m ومدى من 7 NM لارتفاع 0,5 m.

6.3 وتبين الأشكال أن أفضل النتائج تتحقق مع الصورة SART المركبة على سارية حيث لم يتجاوز انخفاض مدى الكشف بسبب طوف النجاة عن 0,5 NM، عموماً. وحصل في كل الحالات انخفاض في الأداء على قطاعات ضيقة من 1,5 إلى 2,0 NM، لكن ذلك لن يشكل مشكلة تشغيلية لأن طوف النجاة يتحرك عملياً في البحر. أما التحفيض المبين في الشكل 4 والذي يسببه وجود الأشخاص، فلا يعتبر دلالياً لأن الشخص الجالس في طوف للنجاة لا يتجاوز ارتفاع الموائي أي متراً واحداً.

7.3 حققت هذه النتائج مع طوف بحافة جاف أثناء الاختبار. ويعرض الجدول 1 خسارة الانتشار لمواد القبة والأنايب المستعملة في أطوف بحافة صانعين مختلفين. ويعطي البندان الأخيران الخسارة عندما تبلل المواد بماء البحر. ويظهر أن الخسارة الإضافية للمواد المبللة تساوي في أسوأ الحالات 3,35 dB وهذا ما يقابل انخفاضاً في مدى الكشف بقيمة 0,5 NM تقريباً.

الجدول 1

خسارة الانتشار عبر قبة طوف البحافة (نتائج القياسات)

خسارة الانتشار (dB) بدلالة ميل القبة				الوزن (kg/m ²)	السمك (mm)	العينة	الاختبار				
الميل											
°60 = θ	°45 = θ	°30 = θ	°0 = θ								
0	0,2-	0,1-	0	0,22	0,18	مادة القبة للشركة A	1				
0,2-	0,3-	0,05-	0,05-	0,7	0,53	مادة الأنابيب للشركة A	2				
0,05-	0,15-	0,1-	0	0,27	0,25	مادة القبة للشركة B	3				
0,45-	0,4-	0,4-	0	0,67	0,57	مادة الأنابيب للشركة B	4				
0,4-	0,3-	0,5-	0,2-	0,3	0,26	مادة القبة للشركة C	5				
2,4-	1,9-	1,4-	0,6-	0,67	0,54	مادة الأنابيب للشركة C	6				
1,1-	0,95-	0,55-	0,35-	-	-	رش القبة "1" بالماء المالح (4,8% NaCl)	7				
3,4-	2,6-	1,9-	1,3-	-	-	رش القبة "3" بالماء المالح (4,8% NaCl)	8				

تردد القياس: GHz 9,4

حجم العينة: mm 800 × 600

الاستنتاجات

4

تظهر الاختبارات أن صوياً SART المركبة تركيباً ملائماً تحقق مدى الكشف الذي تطلبه المنظمة IMO حتى في وجود تأثيرات الحجب لمركبة الإنقاذ. ولا حاجة لتركيب الصوياً SART عند أكثر من متر واحد فوق سطح البحر لا سيما إذا كان الارتفاع الإضافي صعب التحقيق بالنسبة إلى الناجين لكن تحسينات في تركيب الهوائي قد تتحقق في المستقبل وتتوفر مدى إضافياً للكشف.

1.4 لا تأخذ الاختبارات في الاعتبار تأثير عاكس الرadar في أداء الصوياً SART، لكن من المتوقع أن يسبب انحطاطاً كبيراً في استجابة الصوياً SART. وينصح الناجون بعدم نشر الصوياً SART وعاكس رادياري على مركبة الإنقاذ نفسها لأن العاكس قد يحجب الصوياً SART.

الملاحق 4

تأثيرات ارتفاع الهوائي وإعاقة مسیر الإشارة التي تسببها مرکبة إنقاد وركاها في مدى كشف الصوی SART

قمهيد

كان الاستقطاب الأفقي هو الطريقة المستخدمة في صوی SART. وقد بيّنت اختبارات حديثة أجريت في اليابان أن استعمال الاستقطاب الدائري سيكون ملائماً في صوی SART. وقد صنعت لأغراض التجربة صوی SART تستخدم استقطاباً دائرياً وهوائيًا حلوانيًا وأحرىت عليها تجارب في حوض من الماء وفي البحر. وأظهرت النتائج تفوق استعمال الاستقطاب الدائري في صوی SART مما يؤدي إلى تخفيض في حجم هذه الصوی.

1 خصائص إشارة SART في اختبارات حوض الماء

أجريت قياسات للقدرة المتلقاة من إشارة SART ورصدت إمكانية رؤية الإشارة على مؤشر موقع النبضة (PPI) في الرادار وذلك في حوض من الماء بأمواج اصطناعية في مختبر أبحاث في اليابان. وقد أظهرت النتائج تفوق الاستقطاب الدائري على الاستقطاب الأفقي بالنسبة لصوی SART.

2 خصائص إشارة SART في تجربة في البحر

أجريت هذه التجربة في عام 2000، بتعاون من جانب سفن وطائرات السلطات البحرية في اليابان في خليج ساغامي، ورصدت فيها إمكانية رؤية إشارة SART في رادارات على متن السفن والطائرات. وفي الوقت ذاته جرى قياس القدرة المتلقاة من إشارة SART بواسطة رادار في موقع على البر. وكشفت التجربة عن النتائج التالية:

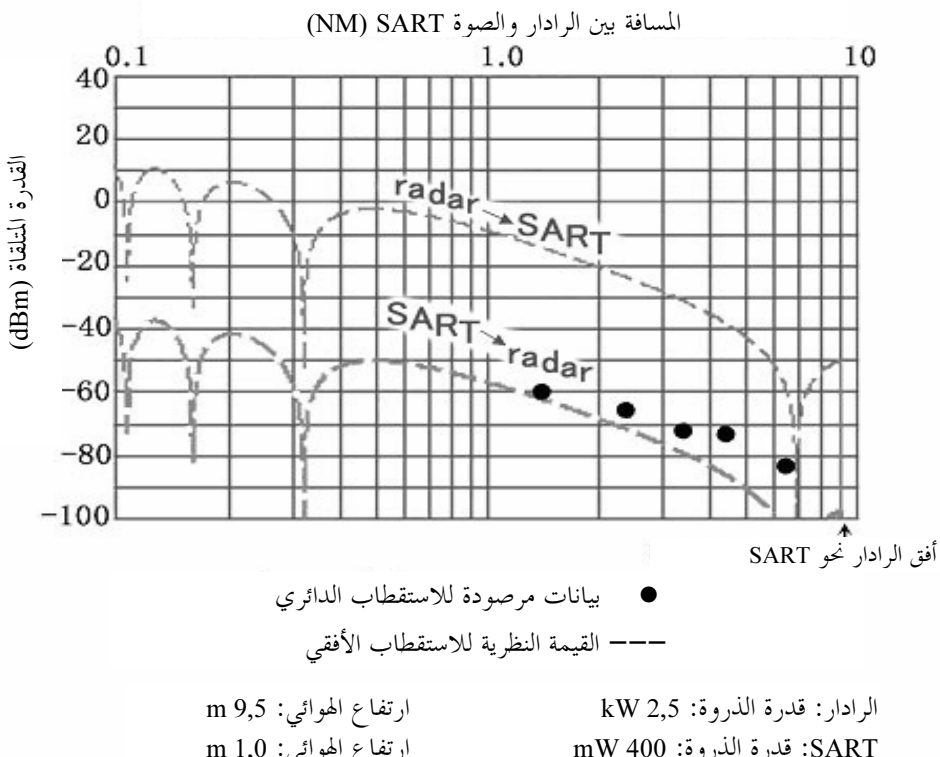
أ) في حالة رادار على متن طائرة، كانت المسافة القصوى لإمكانية رؤية إشارة SART في الاستقطاب الدائري NM 37، بينما كانت المسافة المقابلة في الاستقطاب الأفقي 30 NM. وهذا يؤكد تفوق الاستقطاب الدائري.

ب) في حالة رادار بحري، كانت المسافة القصوى لإمكانية رؤية إشارة SART في الاستقطاب الدائري NM 14، بينما كانت المسافة المقابلة في الاستقطاب الأفقي 11,5 NM. وهذا يؤكد تفوق الاستقطاب الدائري.

ج) في حالة رادار بحري منصوب على البر كانت النتيجة كما هو مبيّن في الشكل 5. وقد جرى انسياق الصورة ذات الاستقطاب الدائري في البحر بواسطة قارب مرفقة صغير. وكانت المسافة بين الرادار والصورة SART تتغيّر. وكانت القدرة المتلقاة من SART تقايس من قبل الرادار البحري المنصوب على البر. وفي الشكل 5 تبيّن النقاط السود إشارة SART ذات الاستقطاب الدائري التي قيست فعلاً، وبين المحنّين المتقطّعان القيمة النظرية لإشارة SART ذات الاستقطاب الأفقي. وتبدو البيانات المقيدة دوماً فوق منحنى القيمة النظرية في اتجاه "إلى الرادار". وكان ظهور إشارة SART ذات الاستقطاب الدائري على مؤشر موقع النبضة (PPI) في الرادار أقوى وأوضح من ظهور إشارة الاستقطاب الأفقي. وبالتالي تؤكّد هذه النتائج تفوق الاستقطاب الدائري. والسبب في ذلك ما يلي: نظراً لدوران المجال الكهربائي فإن الاستقطاب الدائري يستبان في عنصر الاستقطاب الأفقي وفي عنصر الاستقطاب الرأسي. ويختلف الانعكاس الذي يتميز به سطح البحر بالنسبة لهذين العنصرين من عناصر التوليف. ولذلك فإن منحنى قوة الاستقبال عندما تتدخل الموجة المباشرة والموجة المنعكسة عن سطح البحر يتغيّر بتغيير المسافة. وتؤدي هذه الظاهرة إلى زيادة المسافة التي يمكن تحريّها في موجة SART ذات الاستقطاب الدائري عن المسافة التي يمكن تحريّها في موجة الاستقطاب الأفقي بنسبة 30% أو أكثر.

الشكل 5

البيانات المرصودة لإشارة SART ذات الاستقطاب الدائري
والقيمة النظرية للاستقطاب الأفقي



نظراً لحسن تقابل البيانات المرصودة للاستقطاب الأفقي SART والقيمة النظرية لها فقد حذفت البيانات في هذا الرسم.

وعلاوة على ذلك أجريت في عام 2004 قياسات للقدرة المتلقاة من إشارة SART في ظروف طقس عاصف باستخدام رadar بحرى في مختبر أبحاث في اليابان. ونتيجة لذلك تأكيد أن أداء صوقة SART باستقطاب دائري لا يقل سوية عن أداء مثيلتها باستقطاب أفقي.